

文章编号: 1000-5013(2007)01-0105-02

磁各向异性介质圆电流内部的磁场

吴春曙, 王建成, 梁 昕

(华侨大学 信息科学与工程学院, 福建 泉州 362021)

摘要: 应用已导出的磁各向异性介质中的毕奥-萨伐尔定律的极坐标形式, 求出用极坐标方程表示的圆电流内部的磁场, 并证明其磁场在圆电流中心具有最小值.

关键词: 磁场; 各向异性; 圆电流; 中心; 最小值

中图分类号: TM 154.1 文献标识码: A

1 各向异性磁介质极坐标形式

求解各向异性磁介质中的磁场问题时, 通常应用到各向异性磁介质中磁矢势 A 的积分公式^[1-2], 在此公式上, 导出了各向异性磁介质中毕奥-萨伐尔定律的笛卡尔坐标形式^[3]. 文[4]在文[3]的基础上, 进一步导出各向异性磁介质的毕奥-萨伐尔定律的极坐标形式. 若电流曲线方程的极坐标形式 $r = r(\theta)$ 已知, 则可应用此形式的定律, 求出该电流分布极坐标极点处的磁场^[5].

在各向异性磁介质中, 如果极坐标曲线方程为 $r = r(\theta)$ 的线电流分布于 XY 平面内, 则该线电流在极坐标极点处所激发的磁场为^[4]

$$B = \frac{I}{4\pi} \sqrt{\frac{\mu_{33}}{\mu_{11}\mu_{22}}} \int_0^{2\pi} \frac{d\theta}{\int_0^2 \frac{1}{r(\theta) (\cos^2 \theta \mu_{11} + \sin^2 \theta \mu_{22})^{3/2}} d\theta} \quad (1)$$

2 载流圆电流内部的磁场

如图 1 所示, 有一个半径为 R 的圆, 在圆内任取一点 A , 极坐标为 (a, β) . 其中, $\overline{OA} = a$, $\angle AOC = \beta$ 设 $\overline{AP} = r$, $\angle PAB = \theta$ 则 $\angle PAO = 360^\circ - \theta - (180^\circ - \beta) = 180^\circ - (\theta - \beta)$, 因有 $R^2 = r^2 + a^2 - 2arcos \angle PAO = r^2 + a^2 + 2arcos(\theta - \beta)$, 若以点 A 为极点, 以 X' 为极方向, 则圆电流导线的极坐标方程为 $r(\theta) = \sqrt{R^2 - a^2 \sin^2(\theta - \beta)} - a \cos(\theta - \beta)$. 若该圆电流导线位于 XY 平面上, 将其代入式(1)可得极点 A 磁场为

$$B = \frac{I}{4\pi} \sqrt{\frac{\mu_{33}}{\mu_{11}\mu_{22}}} \int_0^{2\pi} \frac{d\theta}{[\sqrt{R^2 - a^2 \sin^2(\theta - \beta)} - a \cos(\theta - \beta)] (\cos^2 \theta \mu_{11} + \sin^2 \theta \mu_{22})^{3/2}} \quad (2)$$

式(2)就是磁各向异性介质中位于 XY 平面上, 圆电流内部任意一点的磁场的表达式.

3 圆电流的磁场在中心具有最小值

对式(2)求导, 可得

$$\frac{\partial B}{\partial a} = \frac{I}{4\pi} \sqrt{\frac{\mu_{33}}{\mu_{11}\mu_{22}}} \int_0^{2\pi} \frac{1}{(\cos^2 \theta \mu_{11} + \sin^2 \theta \mu_{22})^{3/2}} \cdot \frac{\partial [\frac{1}{\sqrt{R^2 - a^2 \sin^2(\theta - \beta)} - a \cos(\theta - \beta)}]}{\partial a} d\theta =$$

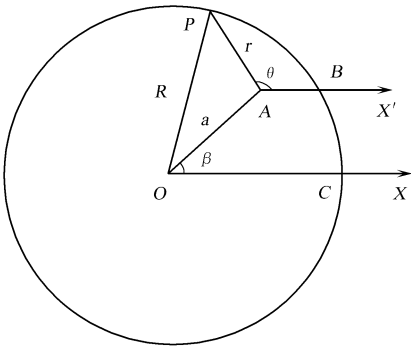


图 1 载流圆电流内部的磁场

Fig.1 Magnetic field in circinal current

收稿日期: 2006-04-02

作者简介: 吴春曙(1975-), 男, 硕士研究生, 主要从事场论和现代网络理论的研究; 通信作者: 王建成(1943-), 男, 教授. E-mail: wangjc@hqu.edu.cn.

$$\frac{I}{4\pi} \sqrt{\frac{\mu_{33}}{\mu_{11}\mu_{22}}} \int_0^{2\pi} \frac{1}{(\cos^2\theta/\mu_{11} + \sin^2\theta/\mu_{22})^{3/2}} \cdot \frac{a\sin^2(\theta-\beta)[R^2 - a^2\sin^2(\theta-\beta)]^{-1/2} + \cos(\theta-\beta)}{[\sqrt{R^2 - a^2\sin^2(\theta-\beta)} - a\cos(\theta-\beta)]^2} \cdot d\theta$$

当 $a=0$ 时, 则有

$$\frac{\partial B}{\partial a} = \frac{I}{4\pi R^2} \sqrt{\frac{\mu_{33}}{\mu_{11}\mu_{22}}} \int_0^{2\pi} \frac{\cos(\theta-\beta)}{(\cos^2\theta/\mu_{11} + \sin^2\theta/\mu_{22})^{3/2}} \cdot d\theta =$$

$$\frac{I}{4\pi R^2} \sqrt{\frac{\mu_{33}}{\mu_{11}\mu_{22}}} \left(\int_0^{2\pi} \frac{\cos\beta\cos\theta}{(\cos^2\theta/\mu_{11} + \sin^2\theta/\mu_{22})^{3/2}} \cdot d\theta + \int_0^{2\pi} \frac{\sin\beta\sin\theta}{(\cos^2\theta/\mu_{11} + \sin^2\theta/\mu_{22})^{3/2}} \cdot d\theta \right). \tag{3}$$

计算式(3)括号中第 2 部分, 可得

$$\int_0^{2\pi} \frac{\sin\beta\sin\theta}{(\cos^2\theta/\mu_{11} + \sin^2\theta/\mu_{22})^{3/2}} \cdot d\theta = \sin\beta \int_0^{2\pi} \frac{\mu_{22}\sqrt{\mu_{22}}\csc^2\theta}{[\frac{\sqrt{\mu_{22}}}{\sqrt{\mu_{11}}}\cot\theta]^2 + 1}^{3/2} \cdot d\theta. \tag{4}$$

令 $\sqrt{\frac{\mu_{22}}{\mu_{11}}}\cot\theta = \cot\varphi$ 则 $\csc^2\theta d\theta = \sqrt{\frac{\mu_{11}}{\mu_{22}}}\csc^2\varphi d\varphi$ 代入式(4), 可得

$$\sin\beta \int_0^{2\pi} \frac{\sqrt{\mu_{11}}\mu_{22}\csc^2\varphi}{\csc^3\varphi} \cdot d\varphi = \sin\beta \int_0^{2\pi} \sqrt{\mu_{11}}\mu_{22}\sin\varphi d\varphi = 0.$$

因此, 有 $\int_0^{2\pi} \frac{\sin\beta\sin\theta}{(\cos^2\theta/\mu_{11} + \sin^2\theta/\mu_{22})^{3/2}} \cdot d\theta = 0$. 同理, 我们可以得到式(3)括号中第 1 部分, 即 $\int_0^{2\pi} \frac{\sin\beta\sin\theta}{(\cos^2\theta/\mu_{11} + \sin^2\theta/\mu_{22})^{3/2}} \cdot d\theta = 0$. 所以, 当 $a=0$ 时, $\frac{\partial B}{\partial a} = 0$, 即得磁各向异性介质圆电流中心磁场具有最小值. 显然, 当介质为磁各向同性时, 圆电流中心磁场也具有最小值. 此结论正是所意料的.

4 结 束 语

圆电流的磁场在无线电、通信、电工等许多工程领域中都有应用. 磁各向同性介质在实际中是不可能存在的, 它是一种理想化的假设. 在工程计算中, 如果需要更高精确的计算时, 就需要考虑磁各向异性介质的影响. 本文给出了磁各向异性圆电流内部磁场, 可为工程中各向异性介质(铁磁质除外)更精确的理论磁场计算提供参考. 至于理论公式的实际应用, 还有待于今后加以研究.

参考文献:

[1] 陈燊年, 陈 洁. 各向异性磁介质的电感新公式[J]. 电子科学学刊, 1991, 13(2) : 159-168.
[2] 陈燊年, 王建成. 各向异性磁矢势 A 的微分方程及其解[J]. 华侨大学学报: 自然科学版, 1996, 17(1) : 90-97.
[3] 王建成, 陈燊年. 磁各向异性介质中毕奥-萨伐尔定律及其应用[J]. 华侨大学学报: 自然科学版, 1989, 10(2) : 125-132.
[4] 王建成, 陈燊年. 各向异性磁介质毕奥-萨伐尔定律极坐标形式[J]. 华侨大学学报: 自然科学版, 1996, 17(4) : 354-357.
[5] 王建成. 各向异性磁介质中载流圆锥焦点的磁场[J]. 华侨大学学报: 自然科学版, 1998, 19(3) : 314-318.

Magnetic Field in Circular Current in Anisotropic Magnetic Medium
WU Chun-shu, WANG Jiar cheng, LIANG Xin
(College of Information Science and Engineering, Huaqiao University, Quanzhou 362021, China)

Abstract: The magnetic field in circular current expressed by polar equation can be solved by applying the derived polar coordinate form of the Biot-Savart law in magnetic anisotropic medium. The magnetic field with a minimum at the circular center has been verified.
Keywords: magnetic field; anisotropy; circular current; center; minimum

(责任编辑: 黄仲一)